

# Struktura in luminiscentne lastnosti $\text{SnO}_2:\text{Eu}$ : Eu luminoforja

## Structure and Luminescence of $\text{SnO}_2:\text{Eu}$ phosphor

Županc-Mežnar L.<sup>1</sup>, IEVT, Ljubljana

B. Orel, Kemijski inštitut, Ljubljana

P. Bukovec, FNT Oddelek za kemijo in kemijsko tehnologijo, Ljubljana

V delu so predstavljene priprava in lastnosti oranžne luminiscentne snovi  $\text{SnO}_2:\text{Eu}$ , ki se uporablja za izdelavo zaslonov v katodnih in nizkonapetostnih prikazalnikih.  $\text{SnO}_2$  smo pripravili po sol-gel postopku in ga dopirali z 1-20 mol% evropija. Preučevali smo strukturne, morfološke, fotoluminiscentne in katodoluminiscentne lastnosti kserogelov in prahov, ki smo jih toplotno obdelovali pri različnih temperaturah in v različnih atmosferah.

*Ključne besede:* luminofor,  $\text{SnO}_2:\text{Eu}$ , sol-gel postopek

*Orange phosphor  $\text{SnO}_2:\text{Eu}$  which can be used in cathode-ray tubes and other low-voltage displays has been prepared and its properties evaluated. The sol-gel method has been used for the synthesis.  $\text{SnO}_2$  was doped with 1-20 mol% of europium. We studied structural, morphologic, photo- and cathodoluminescent characteristics of xerogels and powders prepared at different temperatures and in various atmospheres.*

*Key words:* phosphor,  $\text{SnO}_2:\text{Eu}$ , sol-gel method

### 1. Uvod

Nedopiran kositrov(IV) oksid je polprevodnik n-tipa s široko energijsko režo  $E_g=3,97$  eV. Kristalizira v tetragonalni rutilni strukturi.  $\text{SnO}_2$  se zaradi svojih posebnih lastnosti uporablja na mnogih področjih: v proizvodnji detektorjev plinov, uporov, prozornih gelnih elementov in tranzistorjev, kot tanka prozorna prevodna elektroda ali prozorna antistatična plast. Podrobni opis fizikalnih lastnosti  $\text{SnO}_2$  postopkov priprave in literature je podal Jarzebski.<sup>1</sup> Z dopiranjem kositrovega oksida pa so pripravili materiale z novimi lastnostmi.

Zaradi visokega luminiscentnega izkoristka in občutljivosti na polje ligandov v raztopini ali na kristalno polje v trdni snovi so evropij uporabljali pri študiju strukturnih sprememb pri prehodih oborina-sol-gel-steklo. S fluorescentno spektroskopijo  $\text{Eu}^{3+}$  so preučevali  $\text{TiO}_2$  in  $\text{SnO}_2$  gele in kserogele<sup>3,4</sup> ter  $\text{SiO}_2$  stekla<sup>5</sup>.

Pri sintezi luminoforjev je bil evropij uporabljen kot aktivator v mnogih anorganskih matrikah v obliki  $\text{Eu}^{3+}$  iona (rdeči luminoforji) ali  $\text{Eu}^{2+}$  iona (modri luminoforji). Crabtree<sup>6,9</sup> je pripravil monokristale  $\text{SnO}_2$  s hidrolizo  $\text{SnCl}_4$  v kremenovi cevi pri temperaturi  $1250^\circ\text{C}$ , jih nato dopiral z  $\text{Eu}^{3+}$  ter drugimi lantanoidi in določil njihove foto-, katodo- in termoluminiscentne lastnosti. Razliko v naboju kationov matrike in

aktivatorja je kompenziral z dodatkom elementov Li, H, P ali Nb<sup>6,9</sup>.

Matsuoka<sup>10,11</sup> je pripravil polikristalinični  $\text{SnO}_2:\text{Eu}$  iz raztopine  $\text{SnCl}_2$  in  $\text{EuCl}_3$  (0,01-10 at% Eu), ki jo je oboril z oksalatom. Kositrov(II) oksalat je žaril v kisikovi atmosferi pri  $1000^\circ\text{C}$  dve uri. Po tem postopku je v osnovno matriko vgradil le 0,01-0,05 at% evropija, medtem ko se je pri koncentracijah >0,5 at% pojavila nova faza  $\text{Eu}_2\text{Sn}_2\text{O}_7$ . Ugotovil je, da je  $\text{SnO}_2:\text{Eu}$  primeren luminofor tudi za vzbujanje z nizkoenergijskimi elektroni v ploskovnih prikazalnikih (LEEE, low-energy electron excitation), saj emitira rdeče-oranžno svetlobo že pri 10 V, ne da bi se pri tem na površini kopičil naboj. Luminiscentne lastnosti faze  $\text{Eu}_2\text{Sn}_2\text{O}_7$ , ki nastane na površini delcev  $\text{SnO}_2$ , je podrobno opisal Blasse<sup>12</sup>. Kynev<sup>13</sup> navaja podobne rezultate kot Matsuoka in dodaja, da vmesni oksidi, ki nastajajo pri oksidaciji  $\text{Sn}^{2+}$  v  $\text{Sn}^{4+}$ , pomagajo pri vgrajevanju evropija v osnovno matriko  $\text{SnO}_2$ .

Chadha<sup>14</sup> je pripravil polikristalinični  $\text{SnO}_2$  dopiran z 0,2 at% evropija z žganjem  $\text{SnO}_2$  prahu in  $\text{EuCl}_3$  pri  $1500^\circ\text{C}$ . Tankе plasti iste snovi pa je nanesel s pršenjem aerosola - raztopine organokovinskih prekurzorjev na safirne podlage pri  $460^\circ\text{C}$  in jih kalciniral. Tako pripravljene plasti je uporabil kot rdeči luminofor v FED (field emitter display) prikazalnikih.

Po klasičnem postopku priprave luminoforjev z mešanjem oksidov je potrebno prahove večkrat kalcinirati in vmes drobiti, ker je difuzija ionov aktivatorja v osnovno matriko majhna. Takšen način

<sup>1</sup> Lea ŽUPANC-MEŽNAR, dipl. inž. kem., Inštitut za elektroniko in vakuumsko tehniko 61111 Ljubljana, Teslova 30

priprave je dolgotrajen, hkrati pa z drobljenjem znižujemo svetlobni odziv in vnašamo nečistoče. Namen našega dela je bil pripraviti  $\text{SnO}_2:\text{Eu}$  s sol-gel metodo iz anorganskih prekurzorjev, optimizirati koncentracijo aktivatorja glede na svetlobni odziv, nanesti tanke plasti z dip-coating metodo, s primerno termično obdelavo pripraviti luminiscentne prahove in z njimi izdelati zaslone za miniaturno katodno elektronko.

## 2. Eksperimentalni del

### Priprava $\text{SnO}_2:\text{Eu}$

Z evropijem dopiran  $\text{SnO}_2$  smo pripravili po podobnem postopku, kot ga je opisal Ribeiro s sod.<sup>3</sup>, le da smo za peptizacijo pri koncentracijah Eu >5 mol% uporabili ocetno kislino namesto amoniaka (**slika 1**). Raztopino  $\text{EuCl}_3$  smo pripravili tako, da smo  $\text{Eu}_2\text{O}_3$  (99,99%, Johnson Matthey) raztoplili v 2 M HCl.

### Postopek termične obdelave prahov

Po končani sintezi smo sole segrevali na vodni kopeli pri 60°C, tako pripravljene kserogele pa 12 ur v sušilniku pri 120°C. Potem smo kserogele žgali v temperaturnem območju od 100-1100°C na zraku, v zaščitni atmosferi  $\text{N}_2$  ali v reduktivni atmosferi  $\text{N}_2 - 10\% \text{H}_2$ . Prah smo segrevali v korundnih lončkih po stopnjah (100°C, 2 uri), ga ohladili in mu določili luminiscentne in strukturne lastnosti.

### Nanos tankih plasti

Tanke plasti smo nanesli iz koloidne raztopine

4.38 g  $\text{SnCl}_4 \cdot 5\text{H}_2\text{O}$  (0,0128 mol) raztoplimo v 50 ml vode



dodamo ustrezni volumen 0,1 M  $\text{EuCl}_3$   
(1–20 mol% Eu)



obarjamo s konc.  $\text{NH}_4\text{OH}$  do pH = 11

hidroliza ↓ kondenzacija

belo voluminozno oborino spiramo z vodo v centrifugi,  
da odstranimo  $\text{Cl}^-$  in  $\text{NH}_4^+$  ione



dodamo 9 ml konc.  $\text{CH}_3\text{COOH}$  in mešamo  
na magnetnem mešalu 4 ure

↓ peptizacija

stabilen prozoren sol

↓ povezovanje koloidnih delcev  
v tridimenzionalno mrežo

prozoren gel  $\text{SnO}_2:\text{Eu}$ ,

↓ sušenje na 60°C

kserogel

↓ 100–1100°C

$\text{SnO}_2:\text{Eu}$ , z luminiscentnimi lastnostmi

dopiranega kositrovega(IV) oksida z dip-coating metodo. Uporabili smo očiščene steklene podlage z ITO plastjo, hitrost vlečenja podlage je bila od 1-10 cm/min. Plasti smo najprej posušili na zraku, potem pa še v peči 15 minut pri 500°C. Potapljanje in žarjenje smo za dosego večjih debelin ponovili.

### Merilne metode

Koncentracijo evropija v kositrovem oksidu smo določili z ICP-emisijsko spektroskopijo (Atomscan 25 TJA) in z metodo EDS na elektronskem vrstičnem mikroskopu SEM Jeol JMS 35. Skozi optični del elektronskega mikroskopa smo opazovali barvni odziv vzorcev pri vzbujanju z elektronskim curkom pri različnih napetostih (5-25 kV). Na isti napravi smo določili morfološke značilnosti prahov, tankih plasti in praškastih nanosov. Sestavo in homogenost tankih plasti smo določili s spektroskopijo Augerjevih elektronov na Scanning Auger Microprobe PHI SAM 545A. Strukturo dopiranih oksidov smo določili z rentgensko difracijo z Guinier Camera 620 in Guinier monokromatorjem 615 s  $\text{CuK}\alpha$  sevanjem. Svetlobni odziv (fotoluminiscenco) gelov, kserogelov in dopiranih oksidov smo določili tako, da smo snovi vzbudili z UV svetlobo iz nizkotlačne Hg svetilke z UV filtrom Schott UG11, pomerili svetlobni odziv s fotocelico in mikroampermetrom Keithley in ga primerjali z emisijo tržno dosegljivih P-56 in LA luminoforjev. Intenziteto emitirane svetlobe z zaslonov, izdelanih po sedimentacijskem postopku<sup>15</sup>, smo pomerili s fotometrom/radiometrom EG&G 550-i. Svetlobni izkoristek luminiscentnih zaslonov, vgrajenih v miniaturne katodne elektronke, smo določili iz pomerjene svetlosti (fotometer Gamma Scientific 2009) in toka na zaslonu (elektrometer Keithley 602) pri stalni napetosti 5 kV.

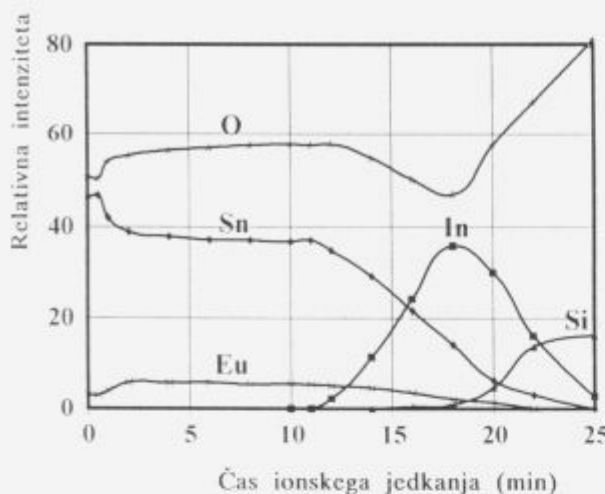
## 3. Rezultati

### Priprava $\text{SnO}_2:\text{Eu}$

Pri postopnem dodajanju  $\text{NH}_4\text{OH}$  v raztopino  $\text{SnCl}_4$  in  $\text{EuCl}_3$  se je pri pH 3 oboril kositrov oksid hidroksid. Analizi EDS in ICP sta pokazali, da se pri teh razmerah evropij ni koprecipitiral v oborino. Zato smo postopek nadaljevali do pH 11, ko se obarja evropijev(III) hidroksid<sup>16</sup>. Z analizo EDS smo določili, da je koncentracija Eu v kserogelu podobna kot v izhodni raztopini. Precipitat smo žgali do 1000°C. Pri vzbujanju v SEM smo skozi optični mikroskop opazili, da snov nima homogene sestave. Zrna, ki so svetila belo, so bila nedopiran  $\text{SnO}_2$ , oranžna pa dopiran  $\text{SnO}_2$ .

Priprava koloidne raztopine ali sola je omogočila homogenizacijo sestavin na molekularni ravni. Oborino  $\text{SnO}_2$  smo peptizirali z  $\text{NH}_4\text{OH}$  (<5 mol% Eu), pri višjih koncentracijah evropija pa je postala netopna, kar kaže na določeno spremembo snovi. Sol je bil pri sobni temperaturi stabilen več mesecev. Iz sola smo potem pripravili kserogele in luminiscentne prahove ali pa s tehniko potapljanja nanašli tanke prozorne plasti. Profilna analiza AES tankih plasti (**slika 2**) je pokazala, da so imele homogeno sestavo tako na površini kot v notranjosti. Tudi lu-

**Slika 1:** Shema priprave z evropijem dopiranega  $\text{SnO}_2:\text{Eu}$   
**Figure 1:** Experimental path for preparation of  $\text{SnO}_2$  doped with europium



Slika 2: Profilna analiza AES tanke plasti  $\text{SnO}_2: 15 \text{ mol\% Eu}$

Figure 2: AES depth profile of  $\text{SnO}_2: 15 \text{ mol\% Eu}$  thin film

miniscentni prahovi so bili homogeni, saj so pri vzbujanju vsa zrna svetila oranžno.

#### Strukturne lastnosti

Preiskave z rentgensko difrakcijo so pokazale, da so dopirani vzorci, segreti do  $600^\circ\text{C}$ , amorfni in postanejo pri temperaturi nad  $800^\circ\text{C}$  kristalinični s kasiteritno strukturo. Evropij se je vgradil v osnovno matriko  $\text{SnO}_2$ , saj v spektre ni vrhov za  $\text{Eu}_2\text{O}_3$ . Če je bila koncentracija aktivatorja višja od 10 mol%, se je pojavila nova faza  $\text{Eu}_2\text{Sn}_2\text{O}_7$  (PDF-13-182). Vmesnih kositrovih oksidov, ki jih navaja Kynev<sup>13</sup>, nismo opazili.

#### Luminiscentne lastnosti

Kserogeli, geli in filmi  $\text{SnO}_2:\text{Eu}$  so oddajali oranžno svetobo pri vzbujanju z UV svetobo ali snopom elektronov, če je bila koncentracija  $\text{Eu}^{3+}>10 \text{ mol\%}$ . To potrjuje trditev Ribeira<sup>4</sup>, da nastajajo po sol-gel postopku nanokristali  $\text{SnO}_2:\text{Eu}$  že pri sobni temperaturi. Evropij je vgrajen v matriko na substitucijskih mestih kositra. S segrevanjem do  $900^\circ\text{C}$  v inertni atmosferi ( $\text{N}_2$  ali Ar) se svetlobni odziv snovi še zvišuje zaradi urejanja kristalne strukture in rasti zrn. Optimalna koncentracija aktivatorja, ki je dala najvišji svetlobni odziv, je bila 15 mol% Eu. S tem mate-

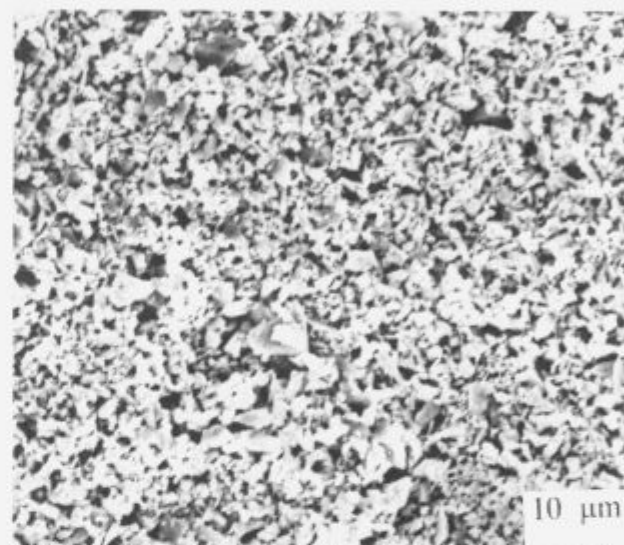
Tabela 1: Primerjava svetlosti zaslonov, nanesenih s prosto sedimentacijo

Table 1: Comparison of light output for screens deposited with sedimentation method

Luminiscentna snov	Povprečna velikost delcev ( $\mu\text{m}$ )	Fotoluminiscenca ( $\mu\text{W}/\text{cm}^2$ )
P-56 ( $\text{Y}_2\text{O}_3:\text{Eu}$ )	5,5	6,2
LA( $\text{Cd}_5(\text{PO}_4)_3\text{Cl}: \text{Mn}$ )	5,5	6,8
$\text{SnO}_2: 15 \text{ mol\% Eu}$	~ 5	2,7

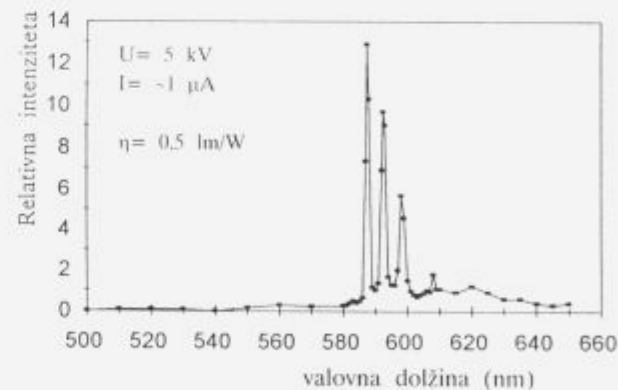
rialom so bili izdelani praškasti zasloni (slika 3), pomerili smo jim fotoluminiscentni odziv (tabela 1) in jih nato vgradili v miniaturne katodne elektronke. Emisijski spekter (slika 4) je enak, kot ga navajajo v literaturi<sup>2-13</sup>. Tudi svetlobni izkoristek katodoluminiscence 0,5 lm/W se ujema z rezultatom, ki ga je navedel Matsuoka<sup>11</sup>.

Če smo segrevali prahove v reduktivni atmosferi, smo dobili pri vzbujanju moder svetlobni odziv, ker je prišlo do redukcije evropija  $\text{Eu}^{3+}$  v  $\text{Eu}^{2+}$ , kakor tudi do redukcije kositra v osnovni mreži. Z rentgensko difrakcijo smo ugotovili prisotnost elementarnega kositra (PDF 4-672).



Slika 3: Posnetek SEM praškastega zaslona s  $\text{SnO}_2: 15 \text{ mol\% Eu}$

Figure 3: SEM micrograph of powder screen with  $\text{SnO}_2: 15 \text{ mol\% Eu}$



Slika 4: Katodoluminiscentni spekter  $\text{SnO}_2: 15 \text{ mol\% Eu}$

Figure 4: Cathodoluminescence of  $\text{SnO}_2: 15 \text{ mol\% Eu}$

#### 4. Sklep

S sol-gel postopkom smo pripravili  $\text{SnO}_2:\text{Eu}$  luminofor že pri  $900^\circ\text{C}$ , saj smo izhajali iz homogenega kserogela, dobljenega iz sola. Rezultati meritev nam kažejo, da je tako pripravljen material primerljiv z luminoforji, sintetiziranimi po drugih postopkih. Ugotovili smo, da je optimalna koncentracija aktivatorja

za SnO<sub>2</sub> matriko 15 mol%, prahove pa je potrebno žariti v nevtralni atmosferi.

Sol-gel postopek priprave luminoforja, izdelava praškastih zaslonov in nanos tankih luminiscentnih plasti s SnO<sub>2</sub>: 15 mol% evropija so originalni prispevek, ki doslej še ni bil objavljen.

## 5. Zahvala

Avtorji se zahvaljujemo Ministrstvu za znanost in tehnologijo Republike Slovenije, ki je delo finančiralo.

## 6. Literatura

- <sup>1</sup> Z. M. Jarzebski, J. P. Marton, Physical properties of SnO<sub>2</sub> materials, *J. Electrochem. Soc.*, 123, 1976, 199C
- <sup>2</sup> M. Lecomte, B. Viana, C. Sanchez, Propriétés optiques de sondes organiques (Rhodamine 6G, Coumarine 4) et inorganique (Eu(III), Nd(III)) dans les gels à base d'oxyde de métaux de transition, *J. Chim. Phys.*, 88, 1991, 39
- <sup>3</sup> S. J. L. Ribeiro, R. S. Hiratsuka, A. M. G. Massabni, M. R. Davolos, C. V. Santilli, S. H. Pucinelli, Study of SnO<sub>2</sub> gels by Eu<sup>3+</sup> fluorescence spectroscopy, *J. Non-cryst. solids*, 147&148, 1992, 162
- <sup>4</sup> S. J. L. Ribeiro, S. H. Pucinelli, C. V. Santilli, SnO<sub>2</sub>:Eu nanocrystallites in SnO<sub>2</sub> monolithic xerogels, *Chem. Phys. Letters*, 190, 1992, 64
- <sup>5</sup> D. Levy, R. Reisfeld, D. Avnir, Fluorescence of europium(III) trapped in silica gel-glass as a probe for cation binding and for changes in cage symmetry during gel dehydration, *Chem. Phys. Letters*, 109, 1984, 593
- <sup>6</sup> D. F. Crabtree, Luminescence and charge compensation in SnO<sub>2</sub> doped with rare-earth ions, *J. Phys. D: Appl. Phys.*, 11, 1978, 1543
- <sup>7</sup> D. F. Crabtree, Cathodoluminescence of tin oxide doped with europium, *J. Phys. D: Appl. Phys.*, 7, 1974, L17
- <sup>8</sup> D. F. Crabtree, Luminescence of SnO<sub>2</sub>:Eu<sup>3+</sup>, *J. Phys. D: Appl. Phys.*, 8, 1975, 107
- <sup>9</sup> D. F. Crabtree, Luminescence and charge compensation in SnO<sub>2</sub>:Eu<sup>3+</sup>, *Phys. stat. sol. (a)*, 38, 1976, 217
- <sup>10</sup> T. Matsuoka, Y. Kasahara, M. Tsuchiya, T. Nitta, S. Hayakawa, The preparation and low energy electron (LEE) Excitation of SnO<sub>2</sub>:Eu powder phosphor, *J. Electrochem. Soc.*, 125, 1978, 102
- <sup>11</sup> T. Matsuoka, T. Tohda, T. Nitta, The low-energy-electron (LEE) Excitation of SnO<sub>2</sub>:Eu powder phosphor; Fundamental characteristics, *J. Electrochem. Soc.*, 130, 1983, 417
- <sup>12</sup> G. Blasse, J. van Keulen, Luminescence properties of Eu<sub>2</sub>Sn<sub>2</sub>O<sub>7</sub>, *Chem. Phys. Letters*, 124, 1986, 534
- <sup>13</sup> K. Kynev, S. Gutzov, S. K. Peneva, A. A. Apostolov, Luminescence of SnO<sub>2</sub>:Eu<sup>3+</sup>; Dependence on oxidation state of the precursor, *Cryst. Res. Technol.*, 30, 1995, 281
- <sup>14</sup> S. S. Chadha, D. W. Smith, A. Vecht, C. S. Gibbons, New and improved phosphors for low-voltage applications, *SID 94 Digest*, 1994, 51
- <sup>15</sup> L. Županc Mežnar, M. Žumer, V. Nemanič, Preparation of high-resolution one inch CRT screens with centrifugal settling method, *SID Digest of Technical Papers*, 1994, 520
- <sup>16</sup> S. P. Sinha, Europium, Springer-Verlag Berlin, Heidelberg, New York, 1967, 21